

کانی‌شناسی و منشأ گارنت در سنگ‌های آتشفسانی اسیدی منطقه دستگرد، جنوب قم

علی‌اکبر بهاری‌فر*

گروه زمین‌شناسی، دانشگاه پیام‌نور، تهران ۱۹۳۹۵-۴۶۹۷، ج. ا. ایران

چکیده

دهای ریولیتی و تراکیتی در محدوده جنوب دستگرد در استان قم، دارای فنوکریست‌هایی از گارنت هستند. بررسی‌های انجام شده نشان می‌دهد که این گارنت‌ها غنی از آلماندین بوده، مقادیر سازنده‌های دیگر در آنها کم است. نتایج به دست آمده از بررسی ترکیب سنگ کل، نشان می‌دهد که ماقماهای منطقه منشأ پوسته‌ای داشته با پوسته آلوده شده‌اند. بر اساس ترکیب شیمیایی بیوتیت‌ها، می‌توان ماقماهای منطقه را ماقماهای پرآلومینه با منشأ پوسته‌ای در نظر گرفت. با استفاده از نتایج حاصل از ترکیب سنگ کل و همچنین شواهدی مانند عدم زنولیت یا زنوكریست مشخص، یکنواختی ترکیب گارنت، تعادل ترکیبی گارنت و بیوتیت، عدم وجود ادخال‌های دگرگونی و عدم وجود حاشیه‌های واکنشی در گارنت، منشأ گارنت‌های منطقه به صورت اولیه و آذرین است که از یک ماقمای پرآلومین متبلور شده‌اند.

واژه‌های کلیدی: تراکیت، دستگرد، ریولیت، قم، گارنت، ماقمای پرآلومین

۱). معمولاً اولین سؤالی که هنگام مشاهده گارنت در سنگ‌های آتشفسانی مطرح می‌شود، در خصوص منشأ آنهاست. گارنت در سنگ‌های آذرین به دو صورت ماقمایی و غیر‌ماقمایی دیده می‌شود. گارنت‌های ماقمایی، محصول تبلور گارنت از ماقما بوده، به طوری که با ماقما در تعادل هستند و در حقیقت، این گارنت‌ها فنوکریست به شمار می‌روند. گروه دیگری از گارنت‌ها، دارای منشأ غیر ماقمایی یا دگرگونی بوده، با ماقمای در حال تبلور، در تعادل نیستند. در حقیقت، این‌گونه گارنت را می‌توان تفاله ذوب سنگ مادر یا زنوكریست در

مقدمه

گارنت که معمولاً به عنوان یکی از کانی‌های معمول سنگ‌های دگرگونی شناخته می‌شود، در سنگ‌های آذرین نیز به طور پراکنده یافت می‌شود. مهم‌ترین حضور گارنت در سنگ‌های آذرین، در گرانیت‌های پرآلومین دیده می‌شود، اما در سنگ‌های آتشفسانی نیز گزارش‌های متعددی از وجود گارنت ارائه شده است. طیف سنگ‌شناسی سنگ‌های آتشفسانی محتوى گارنت، از انواع تحت‌اشباع از سیلیس مانند بازالت و فنولیت تا فوق اشباع مانند ریولیت و داسیت متغیر است (جدول

* a_baharifar@pnu.ac.ir

زمین‌شناسی ایران، محدوده مورد مطالعه بخشی از حاشیه جنوب باختری ایران مرکزی است که به نوار ماقمایی ارومیه دختر با سهند-بزمان مشهور است. با توجه به نقشه زمین‌شناسی تهیه شده از منطقه، واحدهای اصلی عبارتند از: واحد توفیقی، ولکانیکی و آهکی و واحد توفیت‌ها و ماسه سنگ‌های ولکانی کلاستیک که این دو واحد به ائوسن تعلق دارند و نیز واحد مارنی و ماسه سنگی به سن احتمالی ائوسن، واحد گدازه و گنبدهای تراکیت - ریولیت به سن بعد از ائوسن. گسل میم که مهم‌ترین گسل منطقه است، دارای امتداد شمال باختری - جنوب خاوری است که واحدهای مختلف را در کنار همدیگر قرار داده است (شکل ۱-ج) و به خارج از منطقه نیز گسترش دارد.

یکی از مهم‌ترین فعالیت‌های ماقمایی منطقه، تزریق گدازه‌های با ترکیب ریولیت و تراکیت در میان سنگ‌های ائوسن است. این ماقماها، در امتداد گسل میم بالا آمده و به صورت گدازه روان شده یا به صورت ساب ولکانیک، گنبدهای تراکیتی و ریولیتی را با روند شمال باختری - جنوب خاوری، تشکیل داده‌اند. بررسی صحرایی نشان می‌دهد که در بعضی مناطق، این ماقماها تا مرحله تشکیل ایگنمبیریت نیز پیش رفته‌اند. رنگ سنگ‌ها سفید بوده، به آسانی در صحراء قابل تشخیص هستند. مورفو‌لوژی عمومی این واحد، صخره‌ساز است. این سنگ‌ها هم به صورت گنبدهای بزرگ و هم به صورت دایک‌های کوچک در منطقه دیده می‌شوند. مطابق شکل ۱-ج در مجموع حدود ۸ گنبدهای بزرگ و تعداد زیادی دایک‌های کوچک با ترکیب ریولیت تا تراکیت در محدوده دیده می‌شوند. بررسی‌های پتروگرافی نشان می‌دهد که در این واحد، علاوه بر کانی‌های

نظر گرفت. در محدوده مورد مطالعه، برای اولین بار بهاری فر (۱۳۸۵) به وجود گارت در ریولیت‌ها و تراکیت‌ها اشاره نمود، اما از منشأ آنها بحث نشد و در هالهای از ابهام باقی ماند. بهمین دلیل، در این مطالعه منشأ گارت‌های فوق مد نظر قرار گرفته است.

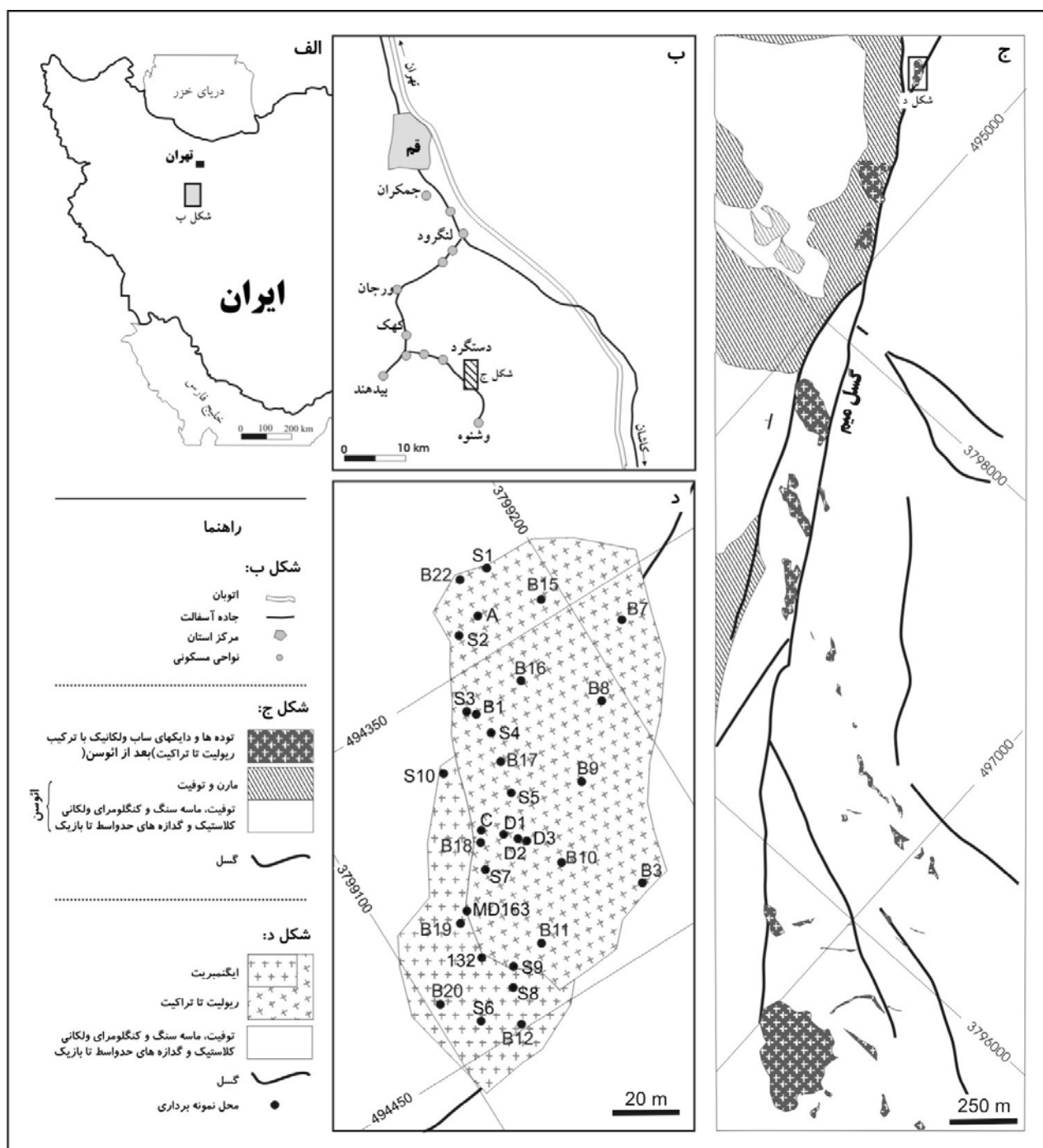
جدول ۱- گزارش گارت در سنگ‌های آتش‌شانی نقاط مختلف جهان

منابع	منشاء گارت	نوع سنگ‌ها	منطقه
ماگمایی	ماگمایی	دانسیت و ریولیت	Pyrenees
ماگمایی یا زنوکریست	ماگمایی	دانسیت	SE Spain
ماگمایی	آندزیت، دانسیت، ریولیت	آندزیت، دانسیت، ریولیت	English Lake District
زنوکریست	زنوکریست، ریولیت	رنوکریست، ریولیت	French Massif Central
زنوکریست	آندزیت، دانسیت	آندزیت، دانسیت	Lipari (Italy)
ماگمایی	آندزیت، دانسیت	آندزیت، دانسیت	Central Caucasus
زنوکریست	آندزیت، دانسیت	آندزیت، دانسیت	Greater Caucasus
ماگمایی	دانسیت	دانسیت	Yamanogawa, Japan
Harangi <i>et al.</i> (2001)	زنوکریست	رنوکریست	Kamitazawa, Japan
(و منابع و مأخذ ?)	فایالیت دانسیت	دانسیت	Asio, Japan
(موجود در آن)	آندزیت، دانسیت	آندزیت، دانسیت	Setouchi, Japan
ماگمایی و زنوکریست	دانسیت	دانسیت	Canterbury, New Zealand
ماگمایی و زنوکریست	رنوکریست	رنوکریست	Canterbury, New Zealand
ماگمایی	آندرزیت، دانسیت	آندرزیت، دانسیت	Northland, New Zealand
ماگمایی و زنوکریست	رنوکریست، ریولیت	دانسیت	Victoria, Australia
ماگمایی	آندرزیت، دانسیت	آندرزیت، دانسیت	Lesser Antilles
ماگمایی	آندرزیت، ریولیت	آندرزیت، ریولیت	Trinity Peninsula, Antarctic Northern Pannonian Basin (Eastern-Central Europe)
Aydar and ? Gourgaud (2002)	آندرزیت، دانسیت	دانسیت	Central Anatolia, Turkey
Kawabata and Takafuji (2005)	دانسیت	دانسیت	Setouchi, Japan
ماگمایی	فنولیت	فنولیت	Mt. Somma-Vesuvius
ماگمایی	ایگنمبیریت ریولیتی	ایگنمبیریت ریولیتی	Central India
ماگمایی	رنوکریست	دانسیت	Deh Salm, Iran

موقعیت جغرافیایی و زمین‌شناسی عمومی محدوده مورد مطالعه در نزدیکی روستای دستگرد در استان قم و در جنوب شهرستان قم قرار دارد (شکل ۱-ب). از نظر تقسیمات

گنبد مت مرکز شده و نقشه زمین‌شناسی آن و نیز موقعیت نمونه‌ها در شکل ۱-د نشان داده شده است. مباحثت زیر، بر مبنای اطلاعات حاصل از نمونه‌های گنبد شمالی است.

متداول سنگ‌های آتشفşانی اسیدی، بلورهای ریز گارنت نیز دیده می‌شوند که بلورهای گارنت مخصوصاً در شمالی‌ترین گنبد (شکل ۱-ج) فراوان هستند. به همین علت، نمونه‌برداری در این



شکل ۱- (الف) موقعیت منطقه مطالعه شده در ایران، (ب) موقعیت منطقه مطالعه شده نسبت به شهر قم، (ج) زمین‌شناسی عمومی منطقه و رخنمون گنبدها و دایکهای اسیدی و گسل میم، (د) موقعیت نمونه‌های برداشت شده در گنبد تراکیتی - ریولیتی شمالی

(Le Maitre *et al.*, TAS 1989) نمونه بر روی نمودار ۱۱۳ نشان داده شده است (شکل ۲). بر این اساس، نمونه‌ها عمدتاً در محدوده تراکیت تا ریولیت بوده، گرایشی نیز به سمت داسیت در آنها دیده می‌شود. نمونه‌هایی که ساخت ایگنمبربیتی دارند، کلا در محدوده ریولیتی قرار می‌گیرند (شکل ۲). بر اساس آنالیزهای انجام شده، ترکیب نمونه‌های منطقه عمدتاً در محدوده Peccerillo پرآلومین قرار می‌گیرد (شکل ۳). در نمودار Taylor و (۱۹۷۶) نیز نمونه‌های منطقه در محدوده سری‌های کالک‌آلکالن غنی از پتاسیم تا شوشوئیتی قرار می‌گیرند (شکل ۴).

از طرف دیگر، بررسی‌های عسگری و همکاران ICP (۱۳۸۷) بر روی دو نمونه از ریولیتها توسط نشان‌دهنده غنی‌شدگی آنها از Large Ion LILE (Large Ion LILE Elements) و آنومالی منفی در Eu است. با توجه به بالا بودن مقدار درصد پتاسیم، در نمودار تعیین سری ماقمایی TAS نمونه‌های منطقه عمدتاً در خارج از محدوده نمودار قرار می‌گیرند و با توجه به در دست نبودن طیف‌های بازیک و حدواسط، استفاده از نمودار AFM (Irvine and Baragar, 1971) نیز اطلاعاتی به دست نمی‌دهد.

با در نظر گرفتن مجموع شواهد فوق، عسگری و همکاران (۱۳۸۷) و بهاری‌فر (۱۳۸۵) نتیجه گرفته‌اند که ماقماهای منطقه منشأ پوسته‌ای داشته یا با ترکیبات پوسته‌ای آلوده شده‌اند.

با توجه به بررسی مقاطع نازک، می‌توان نتیجه گرفت که بافت سنگ‌ها از پورفیری تا میکرولیتیک متغیر بوده، ساخت جریانی نیز در بعضی از نمونه‌ها دیده می‌شود. کوارتز به عنوان مهمترین فنوکریست قابل تشخیص است، اما فنوکریست‌های دیگر که عمدتاً فلدسپار بوده‌اند، به‌علت شدت آلتراسیون توسط کانی‌های ثانویه، از جمله کلسیت و کائولن، جایگزین شده‌اند. در خمیره سنگ‌ها، کوارتز و فلدسپار نیز به عنوان کانی‌های اولیه و بلورهای ریز قابل تشخیص هستند که بسیاری از فلدسپارها و نیز بعضی از بلورهای کوارتز نوزایشی بوده و بر اثر آلتراسیون، تغییر نموده‌اند. کانی‌های تیره سنگ، عمدتاً اکسیدهای فلزی (آهن – تیتان) هستند که به صورت پراکنده و نسبتاً درشت قابل تشخیص‌اند و در نمونه‌های کمتر آلتنه شده، به‌ندرت بیویتیت نیز دیده می‌شود. کانی‌های فرعی سنگ‌ها عبارتند از: گارنت به صورت بلورهای درشت و کانی‌های ثانویه نیز شامل کلسیت، اپیدوت و کلریت به صورت بلورهای ریز در خمیره سنگ. در خمیره سنگ‌ها بلورهای ریز سرسیت نیز وجود دارد.

به‌منظور بررسی ترکیب شیمیایی سنگ‌های این واحد، ۳۲ نمونه از نمونه‌های سطحی سنگ‌های منطقه به روش XRF آنالیز شده است که نتایج عناصر اصلی آنها در جدول ۲ و موقعیت آنها در شکل ۱- د نشان داده شده است. به علاوه، ۸۱ نمونه نیز از حفاری‌های عمقی به دست آمده است (بهاری‌فر، ۱۳۸۵) و جمعاً

جدول ۲- نتایج آنالیز عناصر اصلی نمونه‌های منطقه بر حسب درصد

شماره نمونه	A1	A3	A5	S1	S2	C1	C3	C4	D1	D3	S4	S5	S7	S6	132	S8	S9	S10	S3
SiO₂	67.33	67.85	68.54	68.07	68.75	70.44	70.8	71.69	77.7	72.28	73.34	71.86	71.78	76.92	72.07	75.47	73.13	75.16	66.48
Al₂O₃	16.1	16.55	14.59	14.7	15.02	15.64	13.95	10.38	9.22	14.07	13.38	14.17	12.78	9.97	13.43	11.44	13.76	12.59	16.09
Fe₂O₃	0.58	0.43	0.45	0.43	0.4	0.55	0.69	0.48	0.46	0.97	0.55	0.84	2.62	1.04	1.4	0.58	1.06	0.63	0.41
CaO	0.78	0.92	1.79	2.05	1.83	1.27	2.14	3.05	2.78	1.3	1.15	1.19	0.92	2.16	0.42	2.05	0.53	0.93	0.89
Na₂O	0.35	0.28	0.31	0.69	0.32	0.44	0.36	0.42	0.18	1.17	0.73	0.99	1.24	1.01	3.4	0.64	3.28	0.33	0.47
K₂O	12.52	12.44	11.61	11.16	11.32	8.89	8.55	6.81	8.58	7.59	8.76	7.9	7.94	6.49	6.36	7.62	6.69	9.12	13.03
MgO	0.16	0.09	0.13	0.11	0.06	0.21	0.12	0.11	0.05	0.14	0.09	0.15	0.07	0.16	0.11	0.08	0.34	0.07	0.05
TiO₂	0.06	0.04	0.04	0.04	0.04	0.03	0.03	0.05	0.03	0.03	0.03	0.03	0.04	0.03	0.03	0.03	0.02	0.03	0.04
MnO	0.00	0.00	0.00	0.00	0.00	0.01	0.02	0.02	0.01	0.01	0.00	0.01	0.02	0.02	0.01	0.01	0.01	0.00	0.00
P₂O₅	0.10	0.10	0.08	0.09	0.10	0.10	0.09	0.07	0.06	0.07	0.07	0.08	0.09	0.06	0.08	0.08	0.87	0.08	0.08
L.O.I.	1.12	0.91	1.48	1.81	1.87	2.2	2.62	2.58	2.17	2.12	1.47	2.3	1.91	2.59	1.54	1.67	0.57	0.7	1.71

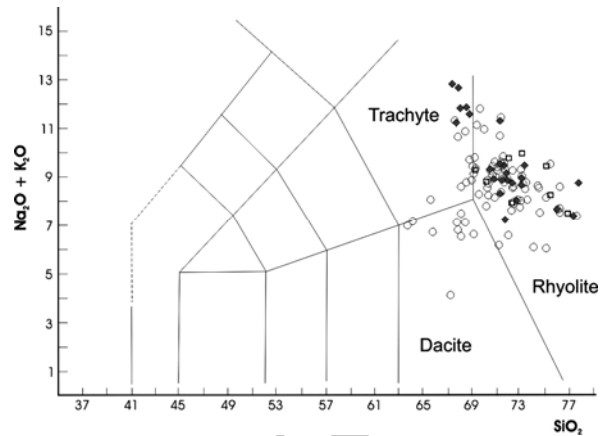
پتروگرافی و شیمی کانی‌ها

برای بررسی شیمی کانی‌ها و مخصوصاً گارنت، تعداد ۸ نمونه از سنگ‌های منطقه انتخاب و برای بررسی به آزمایشگاه شرکت تحقیقات فرآوری مواد معدنی ایران در کرج ارسال شد. پس از تهیه مقاطع صیقلی، نمونه‌های مذکور با میکروپریوب CAMECA SX100 با EDS و WDS بررسی شد. برای کنترل نتایج، ۳ نمونه از گارنت‌های منطقه در دانشگاه مینسوتا امریکا بررسی و ۵ نقطه از آنها آنالیز شد که این نمونه‌ها با پیشوند Q در جدول‌های مربوطه نشان داده شده است.

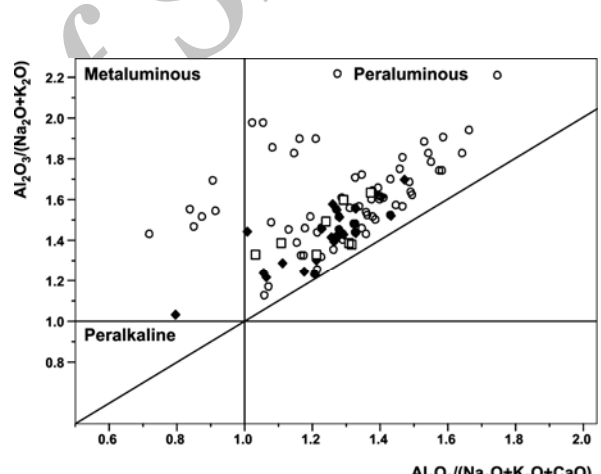
دقت در نتایج آنالیزها، ابهاماتی را نشان می‌دهد، از جمله مقدار مجموع (Total) بعضی از بلورهای گارنت و فلدسپار کم بوده، مقدار پتانسیم بیوتویت در بعضی موارد غیر واقعی است. اگرچه بعضی از نتایج مانند ترکیب بیوتویتها را می‌توان به آلتراسیون نسبت داد، اما این ابهام در مورد گارنت و فلدسپار به قوت خود باقی است. عدم پولیش مناسب و نیز خطای دستگاه در نمونه‌های بررسی شده در ایران، می‌تواند علت بروز این ناهماهنگی‌ها باشد.

الف) گارنت

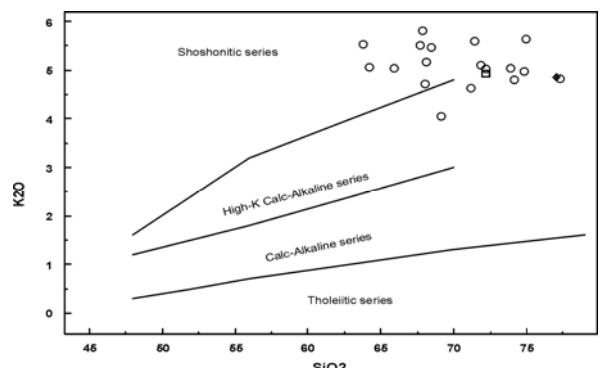
ریولیت‌های منطقه دستگرد، در مناطق متعددی در امتداد گسل میم رخنمون یافته‌اند که حدود ۸ رخنمون اصلی و تعداد زیادی رگه و دایک‌های کوچک در منطقه دیده می‌شود. تنها شمالی‌ترین رخنمون دارای نمونه‌های ایگنمبریتی بوده، بلورهای گارنت نیز تنها در این رخنمون دیده می‌شود. رخنمون‌های دیگر، از نظر کانی‌های اصلی تفاوتی نداشتند، تنها مقدار بیوتویت آنها بیشتر بوده، فاقد گارنت هستند و مقدار بیوتویت (میکا)



شکل ۲- موقعیت نمونه‌های منطقه در نمودار (Le Maitre TAS et al., 1989) لوزی نمونه‌های سطحی فاقد ساخت ایگنمبریتی، مربع نمونه‌های سطحی دارای ساخت ایگنمبریتی و دایره نمونه‌های حاصل از حفاری است.



شکل ۳- موقعیت نمونه‌های منطقه بر روی نمودار Maniar و Piccoli (۱۹۸۹) (علایم مانند شکل ۲)

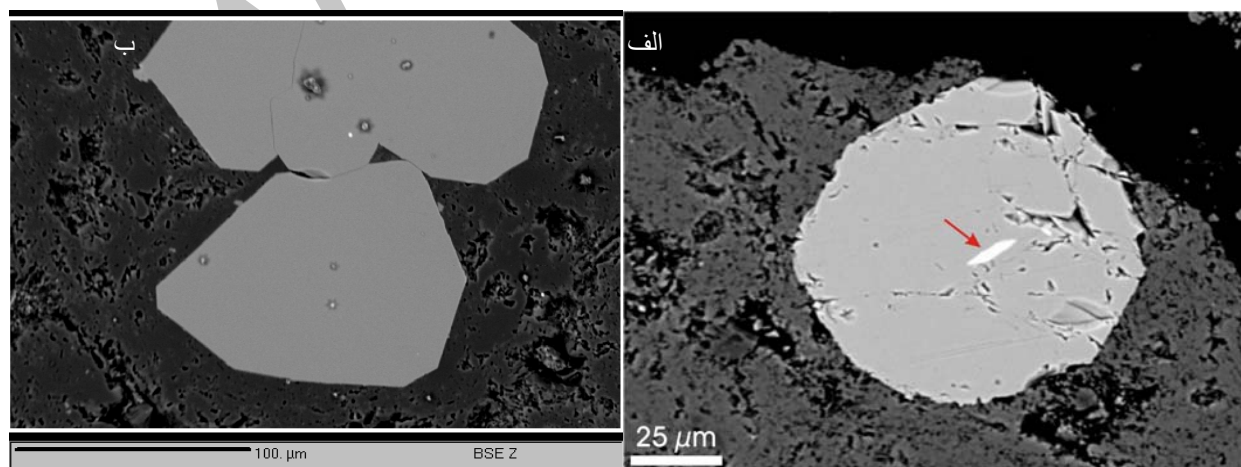


شکل ۴- موقعیت نمونه‌های منطقه (علایم مانند شکل ۲) بر روی نمودار Taylor و Peccerillo (۱۹۷۶)

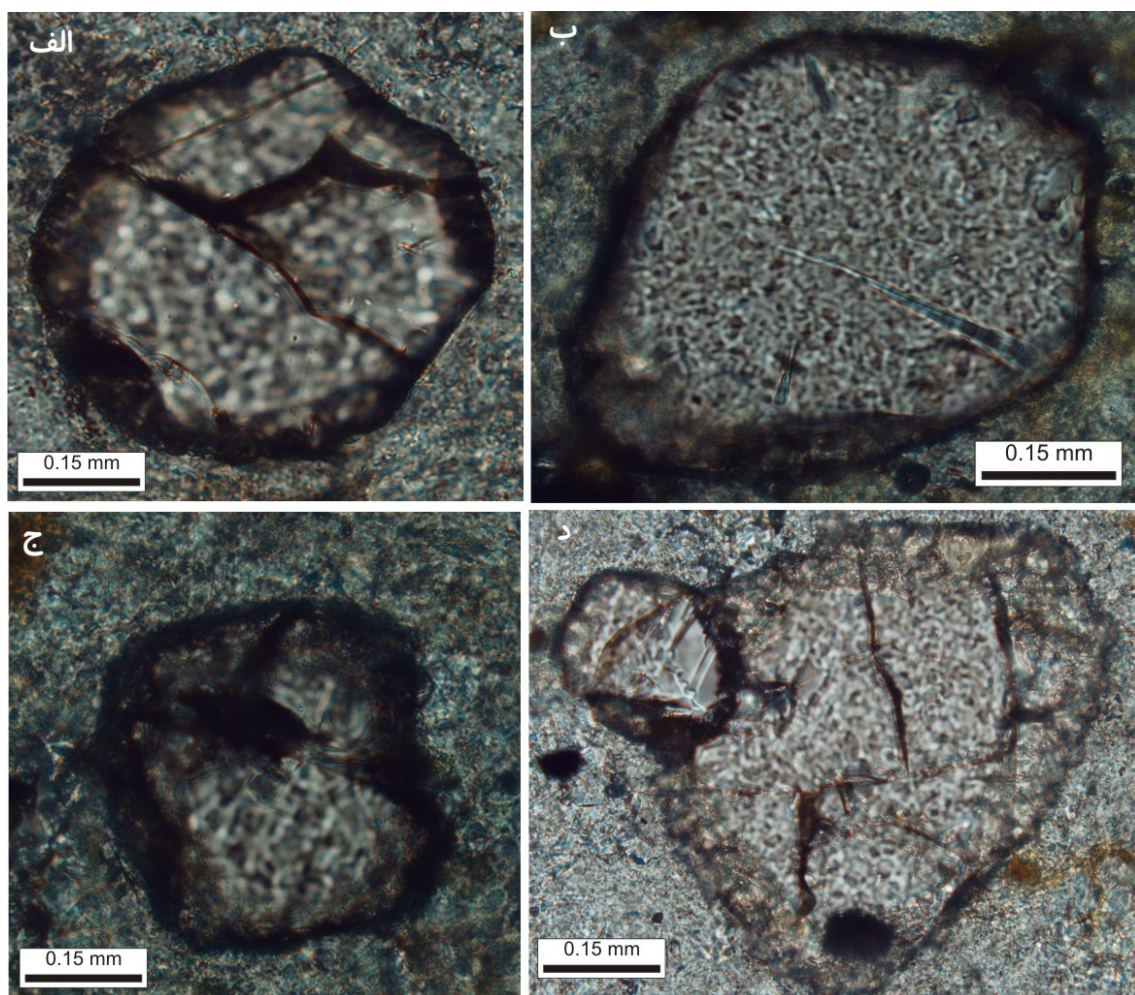
و عموماً فاقد ادخال بوده یا به ندرت دارای ادخال‌های سیاه رنگ هستند که در بررسی با EDS از نوع تیتانومنیتیت هستند (شکل ۵-الف). بسیاری از بلورها به صورت شکل‌دار و به ندرت نیز نیمه‌شکل‌دار هستند. ماکل و چند قلویی در بلورها شایع است و علاوه بر تصاویر BSE تهیه شده (شکل ۵-ب)، بسیاری از بلورهای بررسی شده در زیر میکروسکوپ‌های بیناکولر و پلاریزان نیز، دو یا سه قلو هستند و اگر چه ساخت و فرم عمومی آنها کوبیک است، اما تک بلور نیستند (شکل ۶-د). نوع چند قلویی به گونه‌ای است که نشان می‌دهد چند بلور همزمان در یک نقطه هسته‌بندی کرده و نهایتاً با هم تداخل نموده‌اند و محصول انباشتگی بلورها پس از رشد کامل نیست. فرم بلورها عموماً از رومبودکائیدرون تا تریاکتائیدرون (شکل‌های ۶-الف تا ۶-ج) و فرم‌های حد وسط بین این دو تغییر می‌کند. مهم‌ترین کانی آهن‌دار همراه گارنت، بیوتیت (سیدروفیلیت) است که عموماً به صورت مجزا از گارنت و به ندرت به صورت چسبیده به گارنت دیده می‌شود.

در حدی است که سنگ‌ها مزوکرات تا لوکوکرات هستند، در حالی که نمونه‌های گارنت‌دار دارای درصد بسیار کمتری از بیوتیت و کانی‌های تیره دیگر بوده، هولو لوکوکرات هستند.

بلورهای گارنت در سنگ‌های دارای ساخت ایگنمبریتی و نیز در سنگ‌های فاقد این ساختار، قابل مشاهده‌اند. با توجه به اینکه درصد بلورهای این کانی در سنگ‌ها بسیار کم است، برای بررسی بهتر، نمونه‌هایی به اندازه ۲۰ کیلوگرم از سنگ‌های منطقه خردایش شده، پس از بررسی مشخص شد که نمونه‌های عبوری از الک ۵۰ مش و بالای الک ۷۰ مش دارای بلورهای سالم گارنت هستند، اما در بخش‌های عبوری از الک ۷۰ مش بعضی از بلورهای گارنت شکسته و بعضی دیگر سالم هستند. به همین دلیل، نمونه‌های عبوری از الک ۵۰ مش و روی الک ۷۰ مش برای بررسی انتخاب و پس از جدایش مکانیکی بلورها توسط مگنت فرانتس و خالص‌سازی بعدی در زیر میکروسکوپ بیناکولر، بررسی شدند. اندازه بلورها از یک تا دو میلیمتر بوده، به رنگ ارغوانی کمرنگ



شکل ۵-الف) تصویر BSE از ادخال تیتانومگنتیت در گارنت، ب) بلورهای پلی‌کریستالین گارنت در تصویر



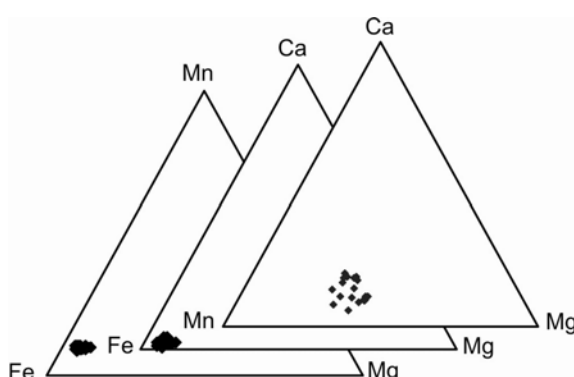
شکل ۶- بلورهای گارنت در زیر میکروسکوپ پلاریزان، (الف) برشی از بلور گارنت با هابیت دودکائدری، (ب) بلور گارنت پلی‌کریستالین

سازنده‌های دیگر پایین است، بخصوص مقدار پیروپ از ۷/۶۵ درصد فراتر نمی‌رود که کم بودن درصد پیروپ، در تطابق با درصد پایین سازنده فلوگوپیت در ترکیب میکاهای منطقه بوده، شاهدی بر تعادل گارنت و میکا در محیط ماقمایی است. پایین بودن مقدار گراسولار نیز در تطابق با ماهیت آلکالن بخش عمدۀ سنگ‌ها و کمبود کلسیم در آنها و نبود پلازیوکلاز به عنوان فنوکریست است (بهاری‌فر، ۱۳۸۵). با توجه به جدول ۳، ترکیب عمومی گارنت‌های منطقه را می‌توان به صورت زیر نوشت:



تعداد ۱۸ نقطه از گارنت‌های منطقه در ۶ نمونه آنالیز شده‌اند که نتایج آن در جدول ۳ دیده می‌شود. تعداد کاتیون‌ها بر اساس ۱۲ اکسیژن محاسبه شده و مقدار اکسید آهن سه ظرفیتی نیز با روش Droop (۱۹۸۷) و بر اساس ضرایب استیکیومتری محاسبه شده است. بررسی‌های انجام شده نشان می‌دهد که گارنت‌های منطقه عمدهاً غنی از آهن بوده و مقادیر سازنده‌های دیگر نظریه منیزیم و کلسیم اندک است (شکل ۷). بر اساس محاسبات انجام شده ترکیب اعضاً انتهایی در جدول ۴ ارائه شده است. با توجه به این جدول گارنت‌های منطقه غنی از آلماندین بوده، مقادیر

با توجه به حساسیت بسیار بالای این سازنده به تغییرات فشار، دما و ترکیب شیمیایی، یکنواختی ترکیب، می‌تواند حاکی از یکنواختی شرایط PTX تبلور گارنت باشد. گراسولار نیز بسیار کم بوده که این مسئله علاوه بر نقش فشار، می‌تواند از درصد بسیار پایین کلسیم در سنگ‌های دربرگیرنده نیز متأثر باشد (Green, 1977).



شکل ۷- نمایش ترکیب شیمیایی گارنت‌های منطقه

جدول ۴- درصد اعضای انتهایی سازنده‌های گارنت در ریولیت‌های منطقه. علایم اختصاری بر مبنای Kretz (۱۹۸۳) هستند.

Sample	294-1	294-2	294-3	294-4	294-5	294-6	294-7	294-8	294-9
Alm	81.76	83.63	83.89	82.85	82.17	82.76	84.28	84.53	84.18
Sps	9.21	8.86	8.76	9.10	9.25	8.94	9.28	9.43	9.10
Prp	7.34	5.90	4.91	5.11	5.43	5.04	4.43	4.83	5.09
Grs	1.70	1.62	2.44	2.94	3.15	3.26	2.01	1.22	1.64
Sample	295-2	296-1	296-2	296-3	Q1	Q2-1	Q2-2	Q3-1	Q3-2
Alm	82.20	82.41	81.33	82.14	83.39	82.77	81.72	82.26	81.72
Sps	8.90	9.28	9.03	8.86	9.53	8.60	8.97	9.16	8.89
Prp	7.11	6.84	7.65	7.14	6.13	5.69	6.35	6.22	6.17
Grs	1.79	1.47	1.99	1.86	0.95	2.94	2.96	2.35	3.22

زنینگ گارنت در دو گارنت مجاور هم و در ۹ نقطه بررسی شده است که محل نقاط اندازه‌گیری و نمودار تغییرات درصد سازنده‌ها در شکل ۸ نشان داده شده است. همان‌گونه که دیده می‌شود، تغییرات از نظم خاصی پیروی نمی‌کند و تنها کاهش مقدار آلماندین در محل مجاورت دو گارنت و افزایش آن در حاشیه یکی از گارنت‌ها قابل توجه است. همچنین، روند نسبتاً ثابت اسپسارتین نیز قابل توجه است.

همچنین، فرمول عمومی گارنت‌های منطقه بر اساس میانگین کاتیون‌های محاسبه شده، عبارت است از:

$$(Fe^{+2}_{2.41} Mg_{0.18} Mn_{0.28} Ca_{0.06}) (Fe^{+3}_{0.01} Ti_{0.005} Al_{1.93}) (Al_{0.05} Si_{2.95}) O_{12}$$

جدول ۳- نتایج آنالیز گارنت‌های منطقه

Sample	294-1	294-2	294-3	294-4	294-5	294-6	294-7	294-8	294-9
SiO ₂	36.94	37.31	36.64	36.69	36.89	36.96	37.18	36.76	37.41
TiO ₂	0.11	0.06	0.12	0.10	0.03	0.02	0.07	0.01	0.00
Al ₂ O ₃	21.27	20.66	20.90	21.52	20.38	20.50	22.08	21.04	21.11
Cr ₂ O ₃	0.00	0.00	0.00	0.00	0.00	0.00	0.00	0.00	0.00
Fe ₂ O ₃	0.00	0.00	0.10	0.07	0.26	0.00	0.00	0.00	0.00
FeO	35.49	36.56	36.84	36.18	35.85	35.97	37.01	36.66	35.47
MnO	3.94	3.83	3.80	3.93	3.98	3.83	4.02	4.03	3.79
MgO	1.79	1.45	1.21	1.25	1.33	1.23	1.09	1.18	1.20
CaO	0.58	0.55	0.84	1.00	1.07	1.10	0.69	0.41	0.54
Na ₂ O	0.00	0.00	0.00	0.03	0.11	0.00	0.07	0.03	0.04
K ₂ O	0.04	0.00	0.00	0.05	0.00	0.00	0.00	0.03	0.00
Total	100.16	100.42	100.45	100.82	99.91	99.61	102.21	100.15	99.56
Si	3.00	3.03	2.99	2.97	3.02	3.03	2.97	3.00	3.05
Ti	0.01	0.00	0.01	0.01	0.00	0.00	0.00	0.00	0.00
Al	2.03	1.98	2.01	2.05	1.97	1.98	2.08	2.02	2.03
Cr	0.00	0.00	0.00	0.00	0.00	0.00	0.00	0.00	0.00
Fe3	0.00	0.00	0.01	0.00	0.02	0.00	0.00	0.00	0.00
Fe2	2.41	2.48	2.51	2.45	2.45	2.46	2.47	2.50	2.42
Mn	0.27	0.26	0.26	0.27	0.28	0.27	0.27	0.28	0.26
Mg	0.22	0.18	0.15	0.15	0.16	0.15	0.13	0.14	0.15
Ca	0.05	0.05	0.07	0.09	0.09	0.10	0.06	0.04	0.05
Na	0.00	0.00	0.00	0.01	0.02	0.00	0.01	0.01	0.01
K	0.00	0.00	0.00	0.01	0.00	0.00	0.00	0.00	0.00
Sum	7.98	7.98	8.00	8.00	8.00	7.98	7.99	7.99	7.95

Sample	295-2	296-1	296-2	296-3	Q1	Q2-1	Q2-2	Q3-1	Q3-2
SiO ₂	37.92	37.12	37.04	37.52	37.41	37.44	37.32	37.40	37.01
TiO ₂	0.06	0.11	0.11	0.17	0.00	0.03	0.12	0.12	0.03
Al ₂ O ₃	20.54	20.48	20.22	21.42	21.30	21.31	21.10	21.20	21.31
Cr ₂ O ₃	0.00	0.00	0.00	0.00	0.00	0.00	0.00	0.00	0.00
Fe ₂ O ₃	0.00	0.00	0.82	0.00	0.00	0.00	0.00	0.00	0.00
FeO	36.04	36.28	34.71	35.44	36.36	36.41	35.60	35.12	36.11
MnO	3.85	4.03	3.81	3.78	4.11	3.73	3.86	3.86	3.87
MgO	1.75	1.69	1.83	1.73	1.50	1.40	1.55	1.49	1.53
CaO	0.61	0.50	0.66	0.63	0.33	1.01	1.00	0.78	1.11
Na ₂ O	0.00	0.00	0.35	0.02	0.00	0.00	0.00	0.00	0.00
K ₂ O	0.03	0.04	0.03	0.05	0.00	0.00	0.00	0.00	0.00
Total	100.80	100.25	99.58	100.76	101.01	101.33	100.55	99.97	100.97
Si	3.06	3.02	3.02	3.02	3.01	3.02	3.03	3.03	2.99
Ti	0.00	0.01	0.01	0.01	0.00	0.00	0.01	0.01	0.00
Al	1.95	1.97	1.95	2.03	2.02	2.02	2.01	2.02	2.03
Cr	0.00	0.00	0.00	0.00	0.00	0.00	0.00	0.00	0.00
Fe3	0.00	0.00	0.05	0.00	0.00	0.00	0.00	0.00	0.00
Fe2	2.43	2.47	2.37	2.38	2.45	2.45	2.41	2.38	2.44
Mn	0.26	0.28	0.26	0.26	0.28	0.25	0.26	0.27	0.27
Mg	0.21	0.21	0.22	0.21	0.18	0.17	0.19	0.18	0.18
Ca	0.05	0.04	0.06	0.05	0.03	0.09	0.09	0.07	0.10
Na	0.00	0.00	0.06	0.00	0.00	0.00	0.00	0.00	0.00
K	0.00	0.00	0.00	0.01	0.00	0.00	0.00	0.00	0.00
Sum	7.97	7.99	8.00	7.96	7.98	7.98	7.97	7.95	8.00

همان‌گونه که مشاهده می‌شود، گارنت‌ها غنی از آلماندین بوده، تغییرات طیف ترکیبی محدود است. در این میان، تغییرات درصد اسپسارتین بسیار محدود بوده،

پ) فلدسپار

مجموعاً ۵ نقطه از فلدسپارهای منطقه بررسی شده و مقدار کاتیون‌ها بر مبنای ۸ اکسیژن محاسبه شد (جدول ۵). نتایج نشان می‌دهد که نمونه‌های فلدسپار عمدتاً از نوع ارتوز با محلول جامد جزئی از آلبیت یا آنورتیت هستند.

جدول ۵- نتایج آنالیز فلدسپارهای منطقه

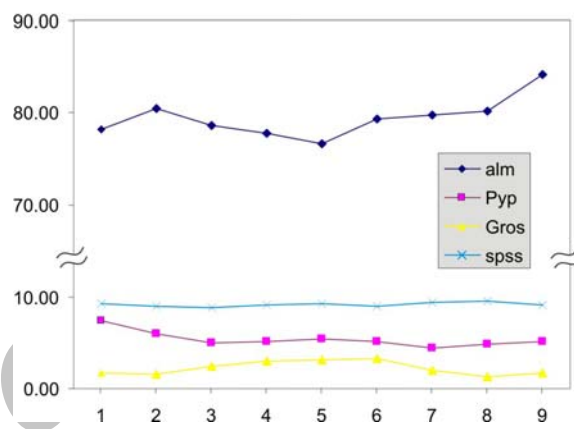
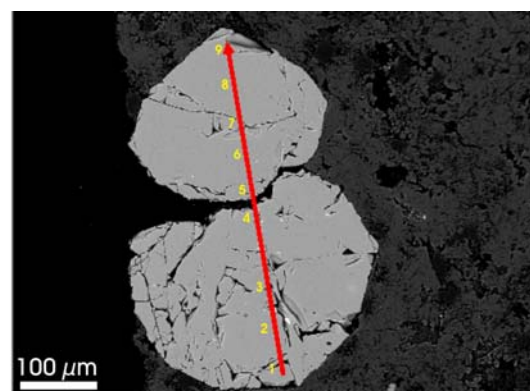
Sample No.	M289	M289	M294-0	M294-1
SiO_2	61.570	63.830	61.440	62.440
TiO_2	0.000	0.050	0.030	0.050
Al_2O_3	17.070	17.530	17.450	19.660
Cr_2O_3	0.000	0.000	0.000	0.000
Fe_2O_3	0.070	0.210	0.170	0.020
FeO	0.000	0.000	0.000	0.000
MnO	0.030	0.000	0.000	0.020
MgO	0.000	0.000	0.000	0.000
CaO	0.720	0.940	0.01	0.010
Na_2O	0.400	0.000	0.140	0.300
K_2O	16.310	15.040	17.440	17.560
Total	96.200	97.620	96.680	100.090
Si	2.985	3.011	2.975	2.916
Ti	0.000	0.002	0.001	0.002
Al	0.976	0.975	0.996	1.083
Cr	0.000	0.000	0.000	0.000
Fe3	0.003	0.008	0.006	0.001
Fe2	0.000	0.000	0.000	0.000
Mn	0.001	0.000	0.000	0.001
Mg	0.000	0.000	0.000	0.000
Ca	0.037	0.048	0.000	0.001
Na	0.038	0.000	0.013	0.027
K	1.010	0.906	1.078	1.047
Ab	3.500	0.000	1.190	2.510
An	3.410	5.030	0.000	0.090
Or	93.090	94.970	98.810	97.400

ت) کانی‌های فرعی

علاوه بر کانی‌های اشاره شده در بالا، کانی‌های فرعی نیز در سنگ‌های منطقه یافت می‌شوند که بر مبنای بررسی طیف EDS مهم‌ترین آنها عبارتند از: اکسید آهن، منگنز (هولاندیت؟)، زیرکن، سلسیتین، نقره و روتیل.

منشأ گارنت

به منظور تشخیص منشأ گارنت در سنگ‌های آتشفشانی، راههای متفاوتی پیشنهاد شده است، اما هیچ یک از آنها معیار مطلق محسوب نشده و ممکن است در



شکل ۸- زونینگ گارنت در دو بلور مجاور هم.

ب) میکا

جمعاً ۲۰ نقطه از میکاهای سنگ‌های منطقه بررسی شده است. ویژگی‌های این میکاهای به تفصیل در بهاری‌فر (۱۳۸۸) مورد بحث قرار گرفته و بررسی‌های فوق نشان داده است که میکاهای منطقه غنی از آهن بوده، مقدار منیزیم آنها بسیار پایین است. مطابق تقسیم‌بندی میکاهای نمونه‌های منطقه عمدتاً از نوع سیدرووفیلیت و بعضی نیز آنیت هستند و یک نمونه نیز در محدوده لپیدوملان قرار می‌گیرد. به این ترتیب، می‌توان بیشتر نمونه‌های میکای منطقه را سیدرووفیلیت در نظر گرفت. بر مبنای ترکیب شیمیایی بلورهای بیوتیت، ماجماهای منطقه ماجماهای پرآلومینه با منشأ پوسته‌ای هستند (بهاری‌فر، ۱۳۸۸) که با توجه به جایگیری در راستای گسل میم، احتمالاً این گسل، فضای لازم برای صعود و جایگیری ماجما را فراهم نموده است.

در این نوشه بحث شده‌اند و می‌توان به آنها استناد کرد، به شرح زیر است:

الف) مagmaهای منطقه از نوع ریولیت‌های غنی از پتاسیم بوده، در بررسی بر مبنای عناصر اصلی، از نوع پرآلومین هستند.

ب) بررسی ترکیب بیوتیت‌ها نشان می‌دهد که ترکیب magmaها در محدوده پرآلومینه قرار دارند.

پ) طیف تغییرات ترکیبی گارنت محدود بوده، زونینگ معنی‌داری در آنها قابل مشاهده نیست.

ت) از نظر مقادیر آهن و منیزیم بین کانی‌های فرومینیزین تعادل وجود داشته، توزیع آهن و منیزیم منطقی است.

با در نظر گرفتن اطلاعات بالا می‌توان نتیجه گرفت که magmaهای منطقه بر اثر ذوب‌بخشی پوسته ضخیم‌شده شکل گرفته و در امتداد گسل میم فوران نموده است (عسگری و همکاران، ۱۳۸۷؛ بهاری‌فر، ۱۳۸۵). با در نظر گرفتن تاریخچه تحولات نئوتیس، این ضخیم‌شدگی، پیامد برخورد صفحه عربستان به صفحه ایران است که به magmaتیسم گستردگی ترشیری منجر شده، magmaتیسم مذکور، به بالا رفتن گرادیان زمین‌گرمایی منطقه و حصول شرایط ذوب‌بخشی منجر می‌شود.

با توجه به دلایل زیر می‌توان گارنت‌های منطقه را بلورهای اولیه در نظر گرفت که از magma متابولر شده‌اند: الف) عدم زنولیت یا زنوكریست مشخص: همان‌گونه که در متن مقاله مشخص است، در سنگ‌های منطقه، هیچ‌گونه زنولیت یا زنوكریست دیده نمی‌شود. مسلماً انتظار می‌رود که در صورت منشأ زنوكریستی گارنت، بخش‌هایی از سنگ مادر نیز به صورت زنولیت با بلورهای گارنت مشابه در سنگ حضور داشته باشند (Harangi *et al.*, 2001; Kawabata and Takafuji, 2005)

منطقه‌ای کاربرد داشته، اما در منطقه دیگر فاقد کارایی باشند.

مهم‌ترین معیارهای مطرح شده برای تشخیص منشأ گارنت به طور خلاصه عبارتند از:

- الگوی زونینگ (Birch and Gleadow, 1974; Kawabata and Takafuji, 2005; Patranabis *et al.*, 2009)

- شکل بلوری (Birch and Gleadow, 1974; Kawabata and Takafuji, 2005)

- توزیع عناصر اصلی (Hamer and Moyes, 1982; Harangi *et al.*, 2001; Mirnejad *et al.*, 2008)

- توزیع عناصر کمیاب (Harangi *et al.*, 2001; Scheibner *et al.*, 2007)

- ایزوتوب‌ها (Harangi *et al.*, 2001) (Kawabata and Takafuji, 2005; Birch and Gleadow, 1974; Patranabis *et al.*, 2009; Green, 1977)

از بین معیارهای ارائه شده بالا، تقریباً هیچ یک قابلیت تعمیم به عنوان یک معیار عمومی را ندارند. معمولاً هریک از معیارهای فوق در محدوده یا منطقه کوچکی کاربرد داشته، مخصوصاً هنگامی قابل استناد هستند که مانند مطالعه Harangi و همکاران (۲۰۰۱) انواع گارنت با بافت و ترکیب متفاوت در سنگ حضور داشته باشند.

در مواردی که گارنت تنوع ترکیبی نداشته باشد، به سختی می‌توان از معیارهای شیمیایی استفاده کرد. در این موارد، می‌توان از وضعیت ادخال‌ها، نوع زنولیتها، تنوع ترکیبی گارنت و نیز ماهیت magma استفاده نمود و هیچ معیار جهانی برای تفکیک سریع گارنت وجود نداشته و لازم است هر مورد به تنهایی بحث شود. برای تعیین منشأ گارنت‌های منطقه، لازم است که کلیه اطلاعات سنگ‌شناسی و کانی‌شناسی مد نظر قرار گیرند. اطلاعات موجود برای تعیین منشأ گارنت‌های منطقه که

2005) است که این حاشیه‌ها در گارنت‌های منطقه مورد مطالعه قابل مشاهده نیست.

شرایط دما و فشار

بر اساس مطالعات تجربی Green (۱۹۷۷) گارنت‌های ماگمایی دارای ۲ تا ۶ درصد گراسولار و ۲ تا ۱۰ درصد اسپسارتین، در فشار حدود ۵ تا ۷ کیلوبار متبلور می‌شوند. با توجه به تعادل میکا و گارنت در سنگ‌های منطقه، برای تخمین حرارت تشکیل این دو کانی می‌توان از دماسنجدی گارنت - بیوتیت با فرض فشارهای مذکور استفاده کرد. از بین کالیبراسون‌های موجود، کالیبراسیون Dasgupta و همکاران (۱۹۹۱) برای تخمین دما استفاده شده است، زیرا این کالیبراسیون تأثیر آلومینیم و تیتانیم در بیوتیت را مد نظر قرار داده است. همچنین، این کالیبراسیون مبتنی بر تعداد زیادی از نتایج ترکیب شیمیایی بیوتیت است. بر اساس محاسبه انجام شده برای نمونه ۲۹۴ دمای تشکیل فنوکریست‌های گارنت بیوتیت برابر با ۷۵۲ درجه سانتی‌گراد در فشار ۵ کیلوبار و ۷۶۸ درجه سانتی‌گراد در فشار ۷ کیلوبار است. بنابراین، می‌توان شرایط فشار و دمای تشکیل بیوتیت و گارنت را فشار ۵ تا ۷ کیلوبار و دمای ۷۶۰ درجه سانتی‌گراد در نظر گرفت.

از طرف دیگر، همان‌گونه که اشاره شد، سنگ‌های منطقه دارای بلورهای فلدسپار نیز هستند. دماسنجدی شرایط تشکیل سنگ‌های آذرین آتشفشانی با استفاده از روابط فلدسپار پتابسیم - مذاب نیز امکان‌پذیر است (Putirka, 2008). برای این منظور، نتیجه آنالیز فلدسپار شماره ۱ M294-۱ در جدول ۵ با ترکیب شیمیایی کل سنگ در نمونه A1 در جدول ۱ استفاده شده است. با استفاده از رابطه 24b در Putirka (۲۰۰۸) دمای تشکیل فلدسپارها ۶۱۶ درجه سانتی‌گراد محاسبه شده است. با مقایسه دمای به دست آمده از دماسنجدی گارنت

ب) یکنواختی ترکیب گارنت: همان‌گونه که Green (۱۹۷۷) و Kawabata و Takafuji (۲۰۰۵) نشان داده‌اند، طیف تغییرات ترکیب در گارنت‌های دارای منشأ زنوکریستی وسیع بوده، در مقابل، تغییرات ترکیب در گارنت‌های اولیه، کم و محدود است.

پ) تعادل گارنت و بیوتیت: مسلمًاً منشأ زنوکریستی گارنت، به معنی عدم تعادل با ماگمای دربرگیرنده و کانی‌های ماگمایی است. طیف محدود تغییرات ترکیبی بیوتیت و نیز هماهنگی درصد عناصر فرومیزین در این دو کانی، حاکی از تعادل بیوتیت و گارنت از ماگمای پرآلومینه است. وجود درصد بالای آلومینیم اکتائدری در میکا (بهاری فر ۱۳۸۸) و مقادیر کمتر در گارنت، مؤید بالا بودن درصد آلومینیم در میکا و مؤید ماهیت پرآلومینه ماگمایی منطقه است.

ت) عدم ادخال‌های دگرگونی: در بین گارنت‌های بررسی شده، شواهدی از وجود ادخال‌های دگرگونی مانند سیلیمانیت وجود ندارد. از طرف دیگر، ادخال‌های موجود در گارنت از نوع تیتانومنیتیت هستند که بسیار محدودند. روند آرایش ادخال‌های Anderson (۱۹۸۴) ادخال‌های عمود بر سطح بلوری است. منشأ آذرین نسبت داده و در مقابل معتقد است که ادخال‌های دگرگونی، معمولاً به صورت دوایر متحدم‌المرکز آرایش می‌یابند. در بررسی‌های Hamer (۲۰۰۱)، Harangi (۱۹۸۲) و Moyes (۲۰۰۵) نیز گارنت‌های Kawabata و Takafuji اولیه در ریولیت‌ها دارای وضعیت مشابهی با منطقه قم هستند.

ث) عدم حاشیه‌های واکنشی: یکی از شواهد منشأ زنوکریستی گارنت، وجود حاشیه‌های واکنشی و جایگزینی سمبیوتیک سازنده‌هایی مانند مجموعه پلازیوکلاز و آمفیبیول (Kawabata and Takafuji, ۲۰۰۵)

کاهش دهد (Clemens and Wall, 1981, 1988) Green (1977) نشان داد که افزایش منگنز، محدوده پایداری گارنت‌های آلماندین غنی از منگنز را به نحو قابل توجهی افزایش می‌دهد.

در شرایط فشار پایین، گارنت در مذاب با کردیریت در تعادل بوده، درصد اسپسارتین آن بسیار بالاست. از یک سو، پایین بودن مقدار اسپسارتین در سنگ‌های منطقه و از سوی دیگر نبود کردیریت نشان می‌دهد که گارنت‌های منطقه در فشار نسبتاً بالا تشکیل شده و با توجه به نقش گسل میم در انتقال سریع ماقماها به سطح، فرصت ناپایداری گارنت فراهم نشده است؛ اگر چه می‌توان گفت که ممکن است برخی از بلورهای بیوتیت از جمله بیوتیت‌های غنی از منگنز و دارای کلسیم (بهاری‌فر، ۱۳۸۸)، محصول واکنش گارنت با ماقما در حین صعود باشند. اشاره شد که از بین رخمنون‌های ریولیتی منطقه، تنها یک رخمنون دارای گارنت است.

همچنین، ساختار فورانی و ایگنمبریتی تنها در رخمنون دارای گارنت دیده می‌شود. با توجه به ساختار گنبدهای ریولیت‌های دیگر، احتمالاً گارنت‌های موجود در آنها بر اثر سرد شدن آرام و کاهش تدریجی فشار، به بیوتیت تبدیل شده و اثری از آنها باقی نمانده است، اما در رخمنون گارنت‌دار، به علت فوران ماقما، فرصت کافی برای واکنش گارنت فراهم نشده است.

سپاسگزاری

این تحقیق با استفاده از اعتبار طرح پژوهشی گرانست به شماره ۱۱۷۴/۱۱۷۴/۰۸۳۹ از دانشگاه پیام‌نور استان زنجان، انجام شده است. لذا از ریاست و شورای پژوهشی دانشگاه پیام‌نور استان زنجان صمیمانه تشکر می‌کنم. همچنین، دونا

– بیوتیت و دماسنجی فلدسپار – مذاب، می‌توان دریافت که گارنت و بیوتیت در مراحل اولیه و فلدسپار در مراحل پایانی تکامل ماقما تبلور یافته‌اند. این نتیجه‌گیری با بررسی‌های مقطع نازک که نشان می‌دهد فلدسپارها تشکیل‌دهنده زمینه بیوتیت و گارنت سازنده فنوکریست‌ها هستند، در تطابق است.

نتیجه‌گیری

با توجه به مباحث ارائه شده، گارنت‌های منطقه از ماقما اولیه متبلور شده و منشأ آذرین دارند. خودگی حاشیه گارنت‌ها در بعضی از نمونه‌ها بر مبنای مطالعات پتروگرافی، را می‌توان معلول عدم تعادل حرارتی ماقما با گارنت در مراحل آخر تبلور در نظر گرفت (Green, 1977; Green and Ringwood, 1968). از طرف دیگر، چندقولی متعارف در گارنت‌های منطقه را نیز می‌توان به عنوان یکی دیگر از شواهد رشد سریع گارنت از ماقما در نظر گرفت که تاکنون در مقاله‌های ارائه شده مدنظر قرار نگرفته است.

معمولًا، گارنت در اعمق بالا و فشارهای بیش از ۵ کیلوبار تشکیل می‌شود و در فشارهای پایین ناپایدار است. بر مبنای مطالعات تجربی انجام شده بر روی سنگ‌های آتشفشاری مانند آندزیت و داسیت، گارنت در فشار بالاتر از ۷-۵ کیلوبار پایدار است (Green 1972, 1992; Green and Ringwood 1972)

نتایج مشابهی برای ذوب‌بخشی سنگ‌های رسوبی مانند پلیت‌ها و گری‌واکها نیز به دست آمده است (Vilzeuf and Montel, 1994; Patino Douce and Johnston, 1991) اما بررسی‌های تکمیلی نشان داده است که فشار، تنها شرط پایداری گارنت نبوده و به عنوان مثال، بالا بودن درصد منگنز در محیط، می‌تواند حد پایداری گارنت‌ها را تا کمتر از ۱ کیلوبار

می‌نمایم و در پایان از داوران محترم نیز به‌دلیل تذکر نکات سودمند و ارزنده آنها سپاس‌گزاری می‌کنم.

ویتنی از دانشگاه مینوسوتای امریکا، تعدادی از نمونه‌های ارسالی را توسط میکروپروب آنالیز کردند که مراتب تشرک خود را از نامبرده اعلام

منابع

- بهاری‌فر، ع. ا. (۱۳۸۵) گزارش پایانی عملیات اکتشافی معدن خاک صنعتی دستگرد قم. شرکت رنگین پودر غدیر (منتشر نشده).
- بهاری‌فر، ع. ا. (۱۳۸۸) شیمی میکا در ریولیت‌های منطقه کهک، قم و کاربرد آن در بررسی خاستگاه سنگ‌های منطقه. مجموعه مقالات سومین همایش تخصصی زمین‌شناسی دانشگاه پیام نور، اصفهان.
- عسگری، ن.، امامی، م. ح.، خیرخواه، م.، خداییان، ز. و فتحیان، ل. (۱۳۸۷) پترولوژی سنگ‌های نیمه‌آتشفشاری گنبد حلقوی دستگرد (جنوب‌شرق کهک). مجموعه مقالات دوازدهمین همایش انجمن زمین‌شناسی ایران، اهواز.
- Anderson, T. B. (1984) Inclusion patterns in zoned garnets from Mageroy, North Norway. *Mineralogical Magazine* 48: 21-26.
- Aydar, E. and Gourgaud, A. (2002) Garnet-bearing basalts: An example from Mt. Hasan, Central Anatolia, Turkey. *Mineralogy and Petrology* 75: 185-201.
- Birch, W. D. and Gleadow, A. J. W. (1974) The genesis of garnet and cordierite in acid volcanic rocks: Evidence from the Cerberean Cauldron, Central Victoria, Australia. *Contributions to Mineralogy and Petrology* 45: 1–13.
- Clemens, J. D. and Wall, V. J. (1981) Origin and crystallization of some peraluminous (S-type) granitic magmas. *The Canadian Mineralogist* 19: 111-131.
- Clemens, J. D. and Wall, V. J. (1988) Controls on the mineralogy of S-type volcanic and plutonic rocks. *Lithos* 21: 53-66.
- Droop, G. T. R. (1987) A general equation for estimating Fe^{3+} concentrations in ferromagnesian silicates and oxides from microprobe analyses, using stoichiometric data. *Mineralogical Magazine* 51: 431-435.
- Green, T. H. (1977) Garnet in silicic liquids and its possible use as a P-T indicator. *Contributions to Mineralogy and Petrology* 65: 59–67.
- Green, T. H. and Ringwood, A. E. (1968) Origin of the garnet phenocrysts in calc-alkaline rocks. *Contribution to Mineralogy and Petrology* 18: 163–174.
- Green, T. H. and Ringwood, A. E. (1972) Crystallization of garnet-bearing rhyodacite under high-pressure hydrous conditions. *Journal of Geological Society of Australia* 19: 203–212.
- Green, T. H. (1992) Experimental phase equilibrium studies of garnet-bearing I-type volcanics and high-level intrusives from Northland, New Zealand. *Transactions of the Royal Society of Edinburgh: Earth Sciences* 83: 429–438.
- Hamer, R. D. and Moyes, A. B. (1982) Composition and origin of garnet from the Antarctic Peninsula Volcanic Group of Trinity Peninsula. *Journal of Geological Society, London* 139: 713–720.
- Harangi, S. Z., Downes, H., Kosa, L., Szabo, C. S., Thirlwall, M. F., Mason, P. R. D. and Mattey, D. (2001) Almandine garnet in calc-alkaline volcanic rocks of the North Pannonian Basin (Eastern-Central Europe): geochemistry, petrogenesis and geodynamic implications. *Journal of Petrology* 42: 1813-1843.
- Irvine, T. N. and Baragar, W. R. A. (1971) A guide to the chemical classification of the common volcanic rocks. *Canadian Journal of Earth Sciences* 8: 523-548.
- Kawabata, H. and Takafuji, N. (2005) Origin of garnet crystals in calc-alkaline volcanic rocks from the Setouchi volcanic belt, Japan. *Mineralogical magazine* 69: 159-179.
- Kretz, R. (1983) Symbols for rock-forming minerals. *American Mineralogist* 68: 277-279.

- Le Maitre R. W., Bateman P., Dudeck A., Keller J., Lameyre Le Bas M. J., Sabine P. A., Schmid R., Sorensen H., Streckeisen A., Woolley A. R. and Zanettin B. (1989). A classification of igneous rocks and glossary of terms. Blackwell, Oxford.
- Maniar, P. D. and Piccoli, P. M. (1989) Tectonic discrimination of granitoids. Geological Society of American Bulletin 101: 635-643.
- Mirnejad, H., Blourian, G. H., Kheikhah, M., Akrami, M. A. and Tutti, F. (2008) Garnet-bearing rhyolite from Deh-Salm area, Lut block, Eastern Iran: Anatexis of deep crustal rocks. Mineralogy and Petrology 94: 259-269.
- Patino Douce, A. E. and Johnston, A. D. (1991) Phase equilibria and melt productivity in the pelitic system: Implications for the origin of peraluminous granitoids and aluminous granulites. Contributions to Mineralogy and Petrology 107: 202-218.
- Patranabis-Deb, S., Schieber, J. and Basu, A. (2009) Almandine garnet phenocrysts in a ~1 Ga rhyolitic tuff from central India. Geological Magazine 146: 133-143.
- Peccerillo A. and Taylor, S. R. (1976) Geochemistry of Eocene calcalkaline volcanic rocks from Kastamonu area, northern Turkey. Contributions to Mineralogy and Petrology 56: 221—246
- Putirka, K. D. (2008) Thermometers and Barometers for Volcanic Systems. Reviews in Mineralogy and Geochemistry 69: 61-120
- Scheibner, B., Wörner, G., Civetta, L., Stosch, H., Simon, A. and Kronz, A. (2007) Rare earth element fractionation in magmatic Ca-rich garnets Contributions to Mineralogy and Petrology 154: 55-74.
- Vielzeuf, D. and Montel, J. M. (1994) Partial melting of metagreywackes, Part I. Fluid-absent experiments and phase relationships. Contributions to Mineralogy and Petrology 117: 375-393.

Mineralogy and origin of garnet in acidic volcanic rocks of Dastgerd area, Qom

Ali Akbar Baharifar

Department of Geology, Payame Noor University, 19395-4697 Tehran, I. R. of IRAN

Abstract

The rhyolitic and trachytic domes in south of Dastgerd in Qom province, contain garnet phenocrysts. Based on the micro-probe analysis, garnets are almandine rich, and poor in other components. Considering the whole rock chemistry, the magmas of the area have continental origin or at least contaminated with a continental source. Based on chemical composition of biotites, the magmas are peraluminous with continental origin. Several evidences such as lack of any metamorphic xenocrysts or xenoliths, homogeneous composition of garnets, compositional equilibrium between garnet and biotite, lack of metamorphic inclusions in garnet and lack of reaction rims, in addition with the origin of host rocks and whole rock composition, indicate that garnets in the area could be crystallized from a peraluminous magma and they are igneous garnets.

Key words: Trachyte, Dastgerd, Rhyolite, Qom, Garnet, Peraluminous magma

* a_baharifar@pnu.ac.ir